

九州大学 正貫 上田 年比古  
○ 〃 神野 健一  
和泉 正史  
森下 保寿

## 1. 序

地下密度流に対して分散方程式を適用しようとすれば、移達の流速は密度の場所的変化のためにもや一樣ではなく、したがって海水の侵入にともなう圧力場の時間的変化をも考慮して解かなければならぬ。このため流れの場を記述する方程式と塩分の分散を記述する方程式を連立して解かなければならぬが解析的には不可能であり、数值計算によらざるをえない。本報告では、精円型微分方程式および放物型微分方程式に対しての差分解に大きい収束率と安定性をもつA.D.I法(Alternating Direction Implicit Method)を圧力場の方程式に適用し圧力分布と流速分布(Darcyの法則より)とを求める。分散方程式には差分化の際の打ち切り誤差の伝播を防ぎながらの結果精度の良い濃度分布を計算できる特性曲線を用いた。<sup>1)</sup>これらの計算方法によれば分散現象としてとらえた地下密度流の非定常問題が数値計算でき、実際問題としては河口湖の水位変動による海水の侵入の問題にも適用可能であると思われる。

## 2. 基礎式

いわゆる分散現象とは、浸透層内の幾何学的構造により流体粒子が移動分散することを言い、分子拡散は空げき内の流速がきわめて緩慢な時にのみ考慮される。また流速や浸透層の材質により、縦横の分散係数は変化するが、本計算では一定値を用いた。断面平均流速  $\vec{q} = \vec{q}(x, y, t)$ 、圧力  $p = p(x, y, t)$ 、密度の分布  $\rho = \rho(x, y, t)$ 、濃度分布  $C(x, y, t)$ 、移動粒子のもつ濃度  $C(R, t)$  ( $R$ は粒種号)、淡水の粘性係数  $\mu$ 、透水係数  $K$  [ $(\text{cm}^2/\text{s})$ ]、空げき率  $\epsilon$ 、時間ステップ数  $n$ 、反復計算のステップ数  $m$ 、格子点は  $(i, j)$  点とする。

$$\begin{array}{l} \textcircled{1} \text{ 連続の式} \quad \textcircled{2} \text{ Darcy の法則} \quad \textcircled{3} \text{ 分散方程式} \\ \nabla \vec{q} = 0 \quad \cdots (1) \quad \vec{q} = -\frac{K}{\mu} (\nabla p + \rho g \hat{z}) \quad \cdots (2) \quad \frac{dc(Rt)}{dt} = \frac{\partial c}{\partial t} + \frac{1}{R} \nabla^2 c = D_x \frac{\partial^2 c}{\partial x^2} + D_y \frac{\partial^2 c}{\partial y^2} \quad \cdots (3) \end{array}$$

$$④ \text{ 密度と濃度は } \rho(x,y,t) = \rho_0 + (1-E) \cdot C(x,y,t), \quad \rho_0 \text{ は淡水の密度, } E \approx 0.3 \quad (4)$$

流れの領域や境界条件は図-1に示す。(2)式と(1)式に代入して粘性係数や透水俌数は密度の変化に対して一定であるとし、また流れの領域を均一等方性の砂層よりなるものとすれば圧力の満たすべき基礎式は

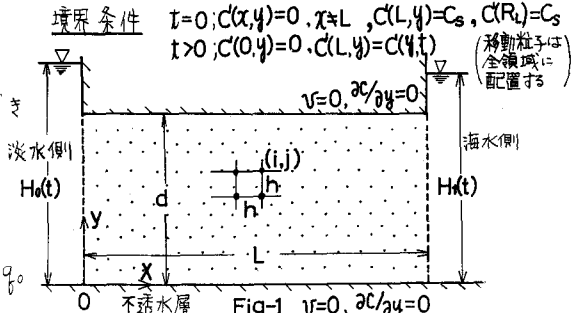
$$\frac{\partial^2 p}{\partial z^2} + \frac{\partial^2 p}{\partial y^2} + g \frac{\partial p}{\partial x} = 0 \quad \text{--- (5)}$$

また移動粒子( $x(R,t), y(R,t)$ ) のもつ流速は空げき

## 内の実質流速

$$\frac{dI(R,t)}{dt} = \frac{q_x}{n}, \quad , \quad \frac{dY(R,t)}{dt} = \frac{q_y}{n} \quad \text{--- (6)}$$

(3),(5),(6)式を代表長さ $L$ (浸透層の長さ), 代表流速 $q_0$ , 代表時間 $T$ (たとえば淡水側水位の一年周期),



— 155 —

$C_s$ を海水濃度(3.6%)として無次元化すれば、\*印を無次元量として

$$\frac{\partial^2 P_*}{\partial x_*^2} + \frac{\partial^2 P_*}{\partial y_*^2} + \frac{g L}{q_0^2} \frac{\partial}{\partial y_*} \left( \frac{P}{P_0} \right) = 0 \quad \text{--- (7)} , \quad \frac{dC_*}{dt_*} = \frac{\partial C_*}{\partial t_*} + \frac{T q_0}{L} \left( U_* \frac{\partial C_*}{\partial x_*} + V_* \frac{\partial C_*}{\partial y_*} \right) = \frac{T}{L^2} \left( D_x \frac{\partial^2 C_*}{\partial x_*^2} + D_y \frac{\partial^2 C_*}{\partial y_*^2} \right) \quad \text{--- (8)}$$

また(6)式は  $\frac{dX(R,t_*)}{dt_*} = -\frac{T}{L^2} \frac{K_p q_0}{n \mu} \frac{\partial P_*}{\partial x_*}$ ,  $\frac{dY(R,t_*)}{dt_*} = -\frac{T}{L^2} \frac{K_p q_0}{n \mu} \frac{\partial P_*}{\partial y_*} - \frac{T}{L^2} \frac{K_p q_0}{n \mu} P$  --- (9)

### 3. 基礎式の差分化

A.D.I法により(7)式を差分化し、反復計算ごとに離和係数  $W_m$  を変えて最も大きい収束率をうるよう

にする。下方向、y方向の連立方程式として  $\begin{cases} p_{i+j,m+\frac{1}{2}} + \frac{1-2w_m}{w_m} p_{i,j,m+\frac{1}{2}} + p_{i-j,m+\frac{1}{2}} = \frac{p_{i,j}}{w_m} + \alpha_{i,j} & (i=1,2,\dots,l_{max}) \\ p_{i,j+1,m+1} + \frac{1-2w_m}{w_m} p_{i,j,m+1} + p_{i,j-1,m+1} = \frac{p_{i,j+1}}{w_m} + \beta_{i,j} & (j=1,2,\dots,j_{max}) \end{cases}$  --- (10), (11)

ここで

$$\alpha_{i,j} = -\left[ p_{i,j+1,m} - 2p_{i,j,m} + p_{i,j-1,m} \right] - \frac{g L}{2p_{i,j}^2} (p_{i,j+1} - p_{i,j-1}) , \quad \beta_{i,j} = -\left[ p_{i,j+1,m+\frac{1}{2}} - 2p_{i,j,m+\frac{1}{2}} + p_{i,j-1,m+\frac{1}{2}} \right] - \frac{g L}{2p_{i,j}^2} (p_{i,j+1} - p_{i,j-1}) \quad \text{--- (12)}$$

このような反復過程を用いれば反復の過程で発生する打ち切り誤差ペナル [E<sub>m+1</sub>] は、[E<sub>m+1</sub>] = 0.44[E<sub>m</sub>] の関係で減衰していくことがゆがっている<sup>2)</sup>。最適な離和係数やA.D.I法の詳細な議論は文献2), 文献3)あるいは文献4)に譲る。(10), (11)式のいわゆる三項方程式は漸化式に書き換えることができ計算を簡略化できる。たとえば(10)式は次のような漸化式になる。

$$p_{i,j,m+\frac{1}{2}} = T_i \cdot p_{i+j,m+\frac{1}{2}} + W_i , \quad T_i = \frac{1}{(1-2w_m)/w_m - T_{i-1}} , \quad W_i = p_{i,j,m+\frac{1}{2}} - \frac{p_{i,j,m+\frac{1}{2}}/w_m + \alpha_{i,j} - W_{i-1}}{(1-2w_m)/w_m + T_{i-1}} \quad \text{--- (13)}$$

次に、移動粒子のもつ流速は格子点(i,j)の占める領域内にあるとき(i,j)点の流速に等しいものとする。もし粒子が  $x_i - \frac{1}{2}h \leq X(R,t_*) < x_i + \frac{1}{2}h ; y_j - \frac{1}{2}h \leq Y(R,t_*) < y_j + \frac{1}{2}h$  --- (14)

のときは(i,j)点の領域内にあるとし、 $\Delta t_{max+\frac{1}{2}}$ 時間後には

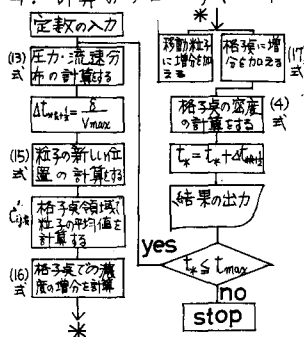
$$X(R,t_* + \Delta t_{max+\frac{1}{2}}) = X(R,t_*) + \Delta t_{max+\frac{1}{2}} \cdot \frac{T q_0}{L} U_*(i,j) ; \quad Y(R,t_* + \Delta t_{max+\frac{1}{2}}) = Y(R,t_*) + \Delta t_{max+\frac{1}{2}} \cdot \frac{T q_0}{L} V_*(i,j) \quad \text{--- (15)}$$

に移動する。 $\Delta t_{max+\frac{1}{2}}$ の求め方であるが、最も大きな流速をもつ粒子が $\Delta t_{max+\frac{1}{2}}$ 時間にどれだけ移動するようすを予め $\delta$ を与えておけばよい。すなわち  $\Delta t_{max+\frac{1}{2}} = \delta / T_{max}$ 。次に格子点の濃度は、その領域の中に含まれている数個の粒子のもつ濃度の平均値に等しいとする。(8)式を差分化すれば、

$$\Delta C(R,t_* + \Delta t_{max+\frac{1}{2}}) = 4C(i,j,t_* + \Delta t_{max+\frac{1}{2}}) - \Delta t_{max+\frac{1}{2}} \cdot \frac{T}{L^2} \left\{ D_x \left( C'_{ij+1,m} - 2C'_{ij,m} + C'_{ij-1,m} \right) + D_y \left( C'_{ij+1,m+\frac{1}{2}} - 2C'_{ij,m+\frac{1}{2}} + C'_{ij-1,m+\frac{1}{2}} \right) \right\} \quad \text{--- (16)} , \quad C'_{ij,m} \text{は平均値} : \text{の増分を(i,j)点の領域内の全ての粒子および(i,j)点の濃度に加える。}$$

$$C(R,t_{k+1}) = C(R,t_k) + \Delta C(R,t_* + \Delta t_{max+\frac{1}{2}}) ; \quad C_{ij,m+1} = C'_{ij,m} + \Delta C(i,j,t_* + \Delta t_{max+\frac{1}{2}}) \quad \text{--- (17)}$$

### 4. 計算のフローチャート



移動粒子は各格子点の占める領域につき4個配置し  $t_*=0$  の時には  $x_*=1.0$  以外の移動粒子の濃度は0とする。移動粒子が動いた際流れの領域の外に出たときは常に海水側に戻すようにしておき、その時の粒子の濃度は  $t_*=1.0$  上の濃度分布にしたがって決定する。また  $x_*=1.0$  上では密度分布を生じるが圧力は静水圧分布を仮定する。

- (参考文献)
- 1) "A Numerical Technique for Calculating the Transient Position of the Saltwater Front"; George F. Pinder, Hilton H. Cooper, JR; Water Resources Research Vol.6 No.3 1970, June 1970
  - 2) "The Numerical solution of parabolic and elliptic differential equations"; D.W. Peaceman, H.H. Rachford, JR; J.S.C. Industr Appl. Math. Vol.3, pp.41-48
  - 3) "差分計算"; 赤坂 隆 著, コロナ社, P.411
  - 4) "偏微分方程式の基礎法による並列解法"; 藤野精一著, 吉岡書店, P.331